



Improvement of Rotary Draw Bending of Commercial Pure Titanium Tubes with Resistance Deformation and Using Steel Ball

ARTICLE INFO

Article Type
Original Research

Authors
Taghizadeh Rami F¹,
Elyasi M^{1*}.

How to cite this article

Taghizadeh Rami F, Elyasi M. Improvement of Rotary Draw Bending of Commercial Pure Titanium Tubes with Resistance Deformation and Using Steel Ball. Modares Mechanical Engineering. 2022;22(06):371-380.

ABSTRACT

In this study, bending of titanium tubes using steel balls in 0.5- and 0.85-mm sizes and resistance heating with experimental and simulation methods have been investigated. For the experiments, titanium tube grade-2 with an outer diameter of 25.4 mm and a thickness of 0.5 mm has been used and to prevent the balls from leaving and applying pressure at the two ends of the tube, the two-head blocking cap and plug of the tube are designed and used. In order to apply temperature in rotatory draw bending of tubes, electric current cables were connected to both sides of the tube, and experiments were performed at room temperatures, 100°C, 200°C, 300°C and 400 °C with a bending ratio of 1.8 and a bending angle of 90 ° was done. After the experiments, cross-sectional distortion, wrinkles, cracking and thickness distribution of bent tubes were investigated. The results of this study showed that in the case of bending at room temperature with and without metal balls, the tubes could not be bent. In the bending process with a constant speed of 0.8 Rad/s, by placing metal balls inside the tube and increasing the temperature 100°C, 200°C and 300°C, the thickening in the intrados of the bent tube decreased by 9.8% and the thinning at the extrados of the bent tube increased by 8.4%. Also, by changing the bending speed from 0.8 to 0.4 Rad/s the cracking defect was eliminated at 400°C. Due to increased pressure due to steel balls in bending area, cross section distortion in tubes decreased by 10.4%. The best bending conditions and the least amount of defects were obtained at 300°C with steel balls.

Keywords Steel balls, Resistance heating, Cross-sectional Distortion, Wrinkling, Thickness Distribution, Cracking

CITATION LINKS

¹ Department of Mechanical Engineering, Babol Noshirvani University of Technology, Babol, Iran

*Correspondence

Address: Associate Professor, Department of Mechanical Engineering, Babol Noshirvani University, Babol, Iran.

elyasi@nit.ac.ir

Article History

Received: November 21, 2021

Accepted: January 24, 2022

ePublished: April 03, 2022

- [1] Modelling of hot rotary draw bending for thin-walled titanium alloy tubes. [2] Tube Forming Processes: A Comprehensive Guide. [3] Effect of mandrel, its clearance and pressure die on tube bending process via rotary draw bending method. [4] Effect of internal fluid pressure on quality of aluminum alloy tube in rotary draw bending. [5] Introducing the method of bending pipes ... [6] Deformation behavior of tube rotary draw bending filled with steel balls. [7] Information fusion algorithm for vehicle state estimation based on extended ... [8] Research on a new process of filler push bending for very thin metal tubes. [9] The Tube Bending Technology of a Hydroforming Process from an Automotive Part. [10] Modelling and Predicting the Deformed Geometry of Thick-walled Pipes Subjected to Induction Bending. [11] Conductive heating during press hardening by hot metal gas forming for curved complex part geometries. [12] Residual stress modeling of warm-bent tight-radius candu feeder bends. [13] The effect of tube bending, heat treatment and loading paths on process responses of hydroforming for automobile intercooler pipe: numerical and experimental investigations. [14] High accuracy direct hot bending of hollow profiles", Manufacturing Letters. [15] Introduction of a new method for bending of AISI 304L stainless steel micro-tubes with micro-wire mandrel. [16] Standard Test Methods for Tension Testing of Metallic Materials. [17] Springback prediction of thick-walled high-strength titanium tube bending. [18] Thermo-mechanical coupled 3D-FE modeling of heat rotary draw bending for large-diameter thin-walled CP-Ti tube.

بهبود خمپذیری لوله‌های تیتانیومی خالص با استفاده از شکل‌دهی مقاومتی و ساچمه‌های فولادی به عنوان ماندلر

فاطمه تقی‌زاده رمی

مهندسی مکانیک، دانشگاه صنعتی نوشیروانی بابل، بابل، ایران

مجید الیاسی*

مهندسی مکانیک، دانشگاه صنعتی نوشیروانی بابل، بابل، ایران

چکیده

در این مقاله، خمکاری لوله‌های تیتانیومی با استفاده از ساچمه‌های فولادی در سایزهای ۵/۰ میلی‌متر و ۸/۰۵ میلی‌متر و گرمکاری مقاومتی با روش‌های تجربی و شبیه‌سازی بررسی شده است. برای انجام آزمایش‌ها، لوله تیتانیوم گرید ۲ با قطر خارجی ۲۵/۴ میلی‌متر و ضخامت ۵/۰ میلی‌متر استفاده شده و برای جلوگیری از خروج ساچمه و اعمال فشار در دو انتهای لوله، دربوش‌های مسدود کننده دو سر لوله، طراحی و استفاده شده است. جهت اعمال دما در خمکاری کششی دورانی لوله‌ها، کابل‌های جریان الکتریکی به دو طرف لوله متصل گردید و آزمایش‌هایی در دمای‌های محیط، ۱۰۰°C، ۲۰۰°C و ۳۰۰°C با ۹۰° و ۱/۸ مگاپاسکال نسبت خم و زاویه خم ۹۰° انجام گردید. پس از انجام آزمایش‌ها، اعوجاج سطح مقطع، چروک، پارگی و توزیع ضخامت لوله‌های خمکاری شده مورد بررسی قرار گرفت. نتایج بدست آمده از این مقاله نشان داد که در صورت خمکاری در دمای محیط با ساچمه و بدون ساچمه‌های فلزی، لوله‌ها قابل خمکاری نبودند. در فرآیند خمکاری با سرعت ثابت ۰/۰ رادیان بر ثانیه، با قرارگیری ساچمه‌های فلزی درون لوله و افزایش دما به دمای‌های ۱۰۰°C، ۲۰۰°C و ۳۰۰°C ضخیم‌شدگی در ناحیه داخلی خم ۹/۸ درصد کاهش یافته و نازک‌شدگی در دیواره خارجی خم به میزان ۸/۴ درصد افزایش می‌یابد. همچنین عیوب پارگی در دمای ۴۰۰°C با تغییر سرعت خمکاری از ۰/۰ به ۰/۴ رادیان بر ثانیه بطرفت شد. به دلیل افزایش فشار ناشی از ساچمه‌های فولادی در منطقه خم، اعوجاج سطح مقطع در لوله‌ها به میزان ۱۰/۴ درصد کاهش یافت. لوله‌هایی که در دمای ۳۰۰°C به همراه ساچمه‌های فولادی خم شدند دارای بهترین شرایط خم و کمترین میزان عیوب بودند.

کلیدواژه‌ها: ساچمه‌های فولادی، گرمکاری مقاومتی، اعوجاج سطح مقطع، چروک‌گیری، تغییر ضخامت.

تاریخ دریافت: ۱۴۰۰/۰۸/۳۰

تاریخ پذیرش: ۱۴۰۰/۱۱/۰۴

نویسنده مسئول: elyasi@nit.ac.ir

۱- مقدمه

در سال‌های اخیر، لوله‌های خم شده با وزن کم و کیفیت بالا در صنایع مختلف کاربرد زیادی پیدا نموده است. همچنین، روش‌های مختلفی برای خمکاری لوله با جنس و هندسه‌های مختلف وجود دارد. روش خمکاری کششی دورانی یکی از روش‌های ساده و در عین حال پرکاربرد صنعتی است. به طوری که اموزه حدود ۹۵ درصد عملیات خمکاری لوله‌ها با این روش انجام می‌شود. با توجه به اهمیت موضوع خمکاری در صنایع مختلف، محققان بسیاری این فرایند را به صورت عددی، تحلیلی و تجربی مورد مطالعه قرار داده‌اند^[۱,۲].

معصومی و همکاران^[۳] تاثیر ماندلر انعطاف پذیر، موقعیت مکانی و تغییر فاصله آن برای لوله فولادی AISI304 در روش خمکاری کششی دورانی را مورد بررسی قرار دادند و به این نتیجه دست یافتند که استفاده از ماندلر توبی و کاهش لقی آن باعث افزایش نیروی خمکاری و بهبود کیفیت خم نهایی شده است.

لازارسکو^[۴] در مقاله خود به بررسی تاثیر فشار سیال داخلی بر لوله‌های آلیاژی آلومینیوم با روش خمکاری کششی دورانی پرداخته است. نتایج این مقاله نشان داد که با افزایش فشار سیال درون لوله، بیضوی شدن سطح مقطع کاهش یافته است. همچنین، نازک‌شدگی دیواره خارجی لوله بیشتر از ضخیم‌شدگی داخلی منطقه خم به دست آمده و در زاویه خم ۹۰° با فشار ۱/۸ مگاپاسکال بهترین کیفیت خم مشاهده شده است.

رجی و همکاران^[۵] با قرار دادن ماندلر سیمی درون لوله فولادی به این نتیجه دست یافتند که ماندلر سیمی از کاهش مقطعی ضخامت به میزان ۱۷/۵ درصد جلوگیری می‌کند و همچنین توزیع ضخامت در طول خم یکنواخت می‌نماید، میزان تغییر شکل مقطع ۹۰ درصد کاهش یافته و فرورفتگی شعاع خارجی خم کاملاً حذف می‌گردد.

سونگ چائوشه و همکاران^[۶] لوله‌های SS201 را با استفاده از ساچمه‌های فولادی در یک سایز مشخص به عنوان ماندلر در خمکاری کششی دورانی و در دمای محیط خم کردند. نتایج نشان داد که چروک‌گیری و اعوجاج سطح مقطع، با قرارگیری ساچمه‌های فلزی درون لوله کاهش یافت. با اعمال فشار داخلی به ساچمه‌های فولادی درون لوله کاهش یافت. با اعمال فشار داخلی خم لوله کاهش می‌یابد در حالیکه نازک‌شدگی قسمت خارجی خم افزایش یافته است.

ژائو^[۷] در مقاله خود به این نتیجه دست یافت که شکل‌دهی لوله‌ها با مشکل آبدنبندی ناشی از فشار سیال داخلی مواجه خواهد شد. او پیشنهاد کرد که گرانولهای جامد به جای سیال داخلی لوله جایگزین شود و با این جایگزینی، مشکلات به وجود آمده از آبدنبندی سیال درون لوله در حین شکل‌دهی لوله را برطرف نمود. چن^[۸] نیز روند خمکاری را با استفاده از فشار پرکننده‌ها بر روی انواع لوله‌های فلزی را در دمای محیط مطالعه نمود. در خمکاری لوله‌های بدون درز مسی TU1 به این نتیجه دست یافت که ساچمه‌های فولادی دارای مزایایی چون کیفیت خوب، مقاومت در برابر فشار و عاری از هرگونه آلدگی هستند.

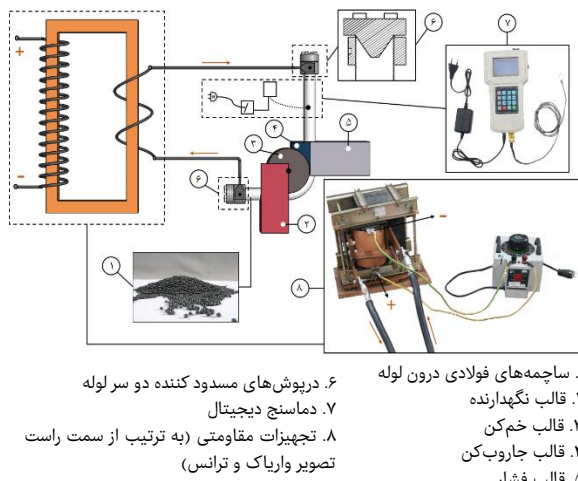
یانگ و ژئو^[۹] با شبیه‌سازی فرآیند خمکاری کششی دورانی به این نتیجه دست یافتند که خمکاری با ماندلر، مقطع لوله به حالت دایروی نزدیک باقی می‌ماند، اما کاهش ضخامت در انحنای بیرونی می‌تواند قابل توجه باشد.

در مراجع^[۱۰-۱۳] محققان در مقالات خود روش‌های مختلف گرمایش برای لوله را در روش‌های شکل‌دهی لوله بررسی نمودند. آن‌ها از ماندلر های متفاوتی استفاده نمودند و به این نتیجه دست یافتند که افزایش دما اثر مثبتی در بهبود خمکاری و یا شکل‌دهی لوله‌ها خواهد داشت. روش‌های گرمایش لوله مورد استفاده در این

جدول ۲) خواص مکانیکی لوله تیتانیوم						
مقطع	کاهش سطح	استحکام کششی	استحکام نهایی ازدیاد طول چگالی	%	MPa	Ksi
%	gr/cm³	%	MPa	Ksi	Ksi	
تیتانیوم	۴/۵۱	۱۸	۵۵۲	۸۰	۴۴۸	۶۵
گرید ۲	۳۲					

انتخاب سرعت قالب‌ها به گونه‌ای بوده که سرعت نسبی آن‌ها صفر شود و در نتیجه لغزشی بین لوله و قالب‌ها به وجود نیاید. زیرا یکی از وظایف قالب‌های فشار و جاروبکن، هل دادن لوله به ناحیه خمش و جلوگیری از نازک‌شدن بیش از حد است. بنابراین اگر سرعت قالب‌ها به درستی انتخاب نشود، ممکن است سبب عیوبی در خم شود.

مجموعه قالب به همراه لوله و دستگاه گرمایش مقاومتی در شکل (۱) نشان داده شده است. برای کاهش میزان چروکیدگی ناحیه قوس داخلی و دستیابی به خم بهینه، دمای لوله افزایش داده می‌شود. برای اعمال گرما به لوله از روش مقاومتی استفاده شده است. با اتصال کابل‌های جریان الکتریکی به دو انتهای لوله، گرمایش مقاومتی در لوله، ساقمه‌ها و دریوش‌های مسدود کننده متصل به دو سر لوله ایجاد می‌گردد و باعث افزایش دمای لوله در حین فرآیند می‌شود.



شکل ۱) شماتیک مجموعه خمکاری کششی دورانی مقاومتی با ماندل ساقمه فلزی

برای اعمال گرمایش مقاومتی از دو دستگاه ترانس و واریاک که در شکل (۱) با شماره ۸ مشخص است، استفاده شده است. در این روش واریاک از برق شهر تک‌فاز با ولتاژ ۲۲۰ ولت تغذیه شده و خروجی آن ولتاژی متغیر است که از صفر تا ۲۵۰ ولت بطور پیوسته قابل تغییر بوده و توسط نمایشگری که بر روی آن نصب شده، جریان و ولتاژ خروجی مشخص خواهد شد. خروجی این واریاک به ترانسفورماتور اصلی متصل شده که دارای ۸۸ دور سیم‌پیچ اولیه و ۲ دور سیم‌پیچ ثانویه است. با توجه به مقاومتی که در مسیر خروجی این جریان قرار دارد می‌توان ولتاژ خروجی

مقالات، گرمایش القایی، گرمایش توسط المنتهای الکتریکی و عملیات حرارتی بر روی لوله‌ها قبل از فرآیند شکل دهنی بوده است. در این مقالات برای نمونه‌های تجربی و شبیه‌سازی عددی نتایج تقریباً مشابه حاصل گردیده است. مزایای استفاده از روش‌های مختلف گرمایش در خمکاری کششی دورانی و یا دیگر روش‌های شکل دهنی به این صورت است که جریان ماده به دلیل افزایش دما به طوریکسان صورت خواهد گرفت و باعث می‌شود توزیع سخامت لوله در حین و بعد از فرآیند به میزان قابل توجهی بهبود یابد. همچنین درصد اعوجاج سطح مقطع لوله کاهش پیدا می‌کند. علاوه بر مزایای نام بده شده، معایبی نیز به همراه خواهد داشت که باعث شد محققان دیگر روش‌های دیگر گرمایش را با روش خمکاری کششی دورانی تلفیق نمایند.

سیمونتو و همکاران^[۱۴] با استفاده از روش خمکاری کششی دورانی با گرمایش مقاومتی بر روی لوله‌های HSS بر محدودیت‌های موجود در دمای اتاق غلبه نمودند. آنان به فرآیندی با دقت بالاتر، حذف تقریبی پیدیده برگشت‌فنری و بهبود خواص مکانیکی ماده دست یافتند.

با بررسی پژوهش‌های انجام شده در زمینه خمکاری لوله، ماندل‌های مختلفی درون لوله مورد استفاده قرار گرفتند. همچنین از روش گرمایش مقاومتی در خمکاری لوله فولادی استفاده شده است. اما تلفیق روش خمکاری کششی دورانی با گرمایش مقاومتی برای لوله تیتانیومی با ساقمه‌های فلزی به عنوان ماندل تاکنون دیده نشده است. از جمله مزایای مهم ساقمه فولادی به عنوان ماندل پرنمودن فضای خالی درون لوله، استفاده از ساقمه در دفعات متعدد و خروج آسان آن از لوله پس از فرایند خمکاری است. در این مقاله سعی شده است اثر ساقمه‌های فولادی بر هندسه ناحیه خم در حالت گرم بررسی شود.

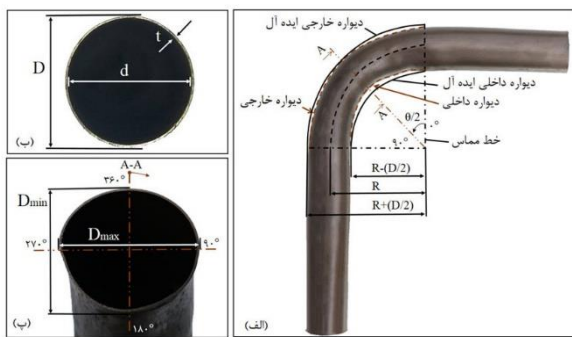
۲- مواد و روش‌ها

در این مقاله از لوله تیتانیومی خالص گرید ۲ با قطر ۲۵/۴ میلی‌متر، ضخامت ۰/۵ میلی‌متر $25/4 \times 0.5$ میلی‌متر و به طول ۳۵۰ میلی‌متر که عناصر تشکیل دهنده آن در جداول (۱) و (۲) مشخص شده، استفاده شده است.

در فرآیند خمکاری از مجموعه قالب که شامل قالب خم، قالب نگهدارنده، قالب فشار، قالب جاروبکن استفاده گردیده است. سرعت قالب خمکن $8/0$ رادیان بر ثانیه، $5/0$ رادیان بر ثانیه و $4/0$ رادیان بر ثانیه تنظیم شد. برای تمامی آزمایش‌ها سرعت قالب فشار و جاروبکن به صورت ثابت صفر در نظر گرفته شده است.

جدول ۱) ترکیب شیمیایی تیتانیوم گرید ۲ مورد استفاده در این پژوهش

عنصر	Mn	Fe	Cu	Cr	V	Al	
درصد	<۰,۰۰۴	>۰,۰۳	<۰,۰۰۲	۰,۰۱	<۰,۰۰۳	<۰,۰۰۲	
Zr	Si	Ni	Sn	Nb	Mo	عنصر	
درصد	<۰,۰۰۵	<۰,۰۰۲	<۰,۰۰۵	۰,۰۱	۰,۰۳۳	<۰,۰۰۵	
Ti	W	C	Ru	Pd	عنصر		
پایه	>۰,۰۱	<۰,۰۰۱	>۰,۰۰۶	<۰,۰۰۶	۰,۰۰۶	درصد	



شکل ۳) الف- لوله بدون برش، ب- سطح مقطع تغییر شکل نیافته، پ- سطح مقطع تغییر شکل یافته

در این مقاله از قالب خم با شعاع $47/5$ میلی‌متر و نسبت شعاع خم به قطر خارجی لوله ($R/D=1/8$) که در شکل (۱) با شماره ۳ مشخص است، استفاده شده است. قطر ساقمه‌های فولادی مورد استفاده در این پژوهش، در اندازه‌های $۰/۵$ و $۸۵/۰$ میلی‌متر بوده است.

برای جلوگیری از اتلاف حرارت، لوله توسط پشم سرامیک عایق‌بندی می‌شود. قسمتی از لوله که در دو طرف با درپوش‌های مسدود کننده در تماس است به دلیل عبور جریان الکتریکی بدون عایق بوده اما می‌توان از اتلاف حرارت توسط درپوش‌های مسدود کننده به دلیل تماس آن‌ها با لوله برای عبور جریان الکتریکی صرف نظر نمود.

برای اندازه‌گیری اعوجاج سطح مقطع، در ابتدا نیمساز ۴۵° برای منطقه خم مشخص نموده و لوله‌ها توسط دستگاه واپرکات، برش عرضی داده شده‌اند. برای محاسبه میزان تغییرشکل سطح مقطع لوله بعد از فرآیند خمکاری از رابطه (۱) استفاده شده است^[۱۵].

$$\psi = \frac{D_{max} - D_{min}}{(D_{max} + D_{min})/2} \quad (1)$$

پارامترهای این رابطه در شکل (۳) نشان داده شده است. D_{max} حداقل قطر خارجی لوله پس از خمکاری است که از برش در مقطع قطری لوله بدست می‌آید. D_{min} حداقل قطر خارجی لوله پس از خمکاری است که از لوله بدون برش بدست می‌آید. D قطر خارجی لوله، d قطر داخلی لوله و R شعاع خم است.

۳-مراحل شبیه‌سازی

به منظور تحلیل مکانیک تغییر شکل و تعیین اثر دما و سرعت خمکاری در فرآیند خمکاری کششی دورانی مقاومتی به همراه ساقمه‌های فلزی، از نرم افزار اجزای محدود آباکوس نسخه ۱۴.۶.جهت شبیه‌سازی استفاده شده است. در شبیه‌سازی فرآیند، لوله به صورت سه‌بعدی پوسته‌ای و شکل‌پذیر و اجزای قالب به صورت سه‌بعدی گستته و پوسته‌ای در نظر گرفته شدند. جنس ماده به صورت همسانگرد فرض شده است. شرایط تماسی از نوع تماس مکانیکی با رفتار مماسی با بیان ریاضی جنبشی استفاده شده است. همچنین برای تعریف تماس‌ها از تماس سطح به سطح

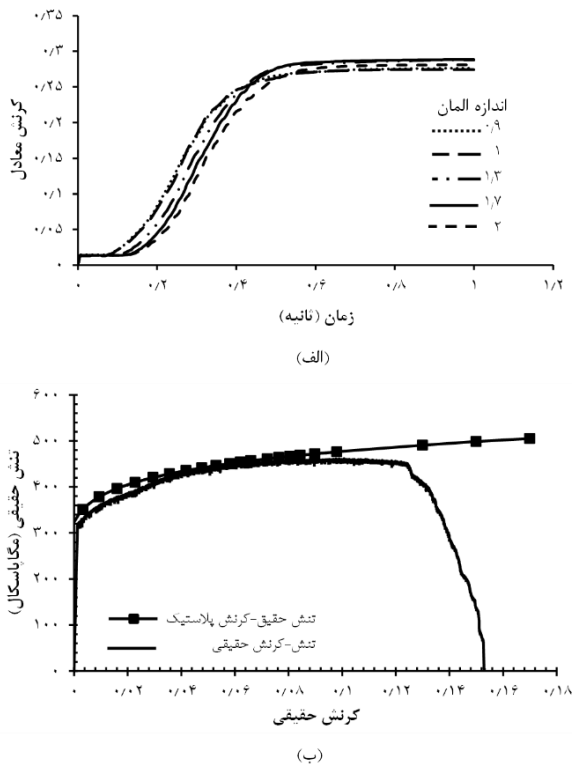
واریاک (وروودی به ترانس) را بگونه‌ای تغییر داد که جریان خروجی از ترانس، بطور پیوسته تغییر کند. مقاومت ایجاد شده دمای لوله را افزایش می‌دهد. با تنظیم ولتاژ خروجی واریاک و مشاهده دما توسط دماسنجد دیجیتال که نوک پرباب آن به یک سمت لوله متصل است، دمای لوله را مشاهده نمود. هنگامی که با تغییر ولتاژ خروجی، هر کدام از دمایهای ۱۰۰°C ، ۲۰۰°C ، ۳۰۰°C و ۴۰۰°C بر روی صفحه نمایش دماسنجد مشاهده می‌گردد، فرآیند خمکاری بر روی لوله‌های تیتانیومی صورت می‌گیرد. برای کنترل دمای لوله و اندازگیری دما در حین فرآیند از دماسنجد دیجیتال استفاده شده است که در شکل (۱) با شماره ۷ مشخص شده است.

برای نگهداری ساقمه‌ها درون لوله و اتصال کابل‌های عبور جریان الکتریکی از دو سمت لوله، از درپوش‌های مسدود کننده استفاده شده است. یک طرف درپوش به شکل مخروطی است و قسمت دیگر آن مکمل کننده آن بوده که برای اتصال به دو انتهای لوله دارای سطح صاف است. در شکل (۲) درپوش‌های مسدود کننده قابل نمایش است. با قرارگیری کابل‌های جریان الکتریکی بر روی درپوش مسدود کننده به کمک سیستم پیچ و مهره، جریان الکتریکی از دستگاه مقاومتی به یک سمت لوله وارد شده و از سمت دیگر لوله به دستگاه برمی‌گردد.



شکل ۲) قالب‌های رابط برای اتصال دستگاه مقاومتی به لوله و نگهداری ساقمه‌های فلزی

با تکرار این چرخه و با توجه به جنس لوله که تیتانیوم گردید ۲ است، لوله در مدت زمان کوتاهی به دمای مورد نظر می‌رسد. بعد از گذشت ۵۰ ثانیه لوله تا دمای ۱۰۰°C گرم شده و به ثبات می‌رسد. برای انجام آزمایش در دمای ۲۰۰°C در مدت زمان ۷۰ ثانیه نیاز است تا جریان از دو سمت لوله بگذرد. همچنین مدت زمان مورد نیاز برای گرمایش لوله تا دمایهای ۳۰۰°C و ۴۰۰°C به ترتیب ۱۱۰ و ۱۴۰ ثانیه است.



شكل ۴) الف- اثر تغییر ابعاد دانه‌بندی بر روی نتایج کرنش پلاستیک معادل برای لوله تیتانیوم گرید ۲، ب- نمودار تنش-کرنش حقیقی تیتانیوم گرید ۲

$$\bar{\sigma} = k (\bar{\varepsilon})^n \quad (\text{Y})$$

$$\bar{\sigma} = \mathcal{L}' (\bar{\varepsilon})^n (\dot{\bar{\varepsilon}})^m \quad (\text{M})$$

در نرخ کرنش‌های S^{-1} ، $0.01 S^{-1}$ و $0.001 S^{-1}$ مقادیر جدول (۴) برای دماهای مورد نظر محاسبه شده‌اند.

جدول ۴) خواص مکانیکی تیتانیوم خالص در دماهای مختلف^[18]

دما [°C]	نش تسليم [MPa]	ضریب استحکام در حالت گرم [MPa]	نمای کرنش سختی n	حساسیت به نرخ کرنش m	چگالی پواسون [ton/m ³]
۲۵	۱۰۵۴۵۰	۶۵۰/۲۵	۰/۰۹	۰/۰۰۷	
۱۰۰	۷۳۳۲۴۰	۵۵۷/۸۲	۰/۰۹	۰/۰۳	
۲۰۰	۶۶۱۰۰	۵۲۳/۲۱	۰/۱۵	۰/۰۲	e-۹
۳۰۰	۶۱۸۴۰	۴۸۱/۱۵	۰/۱۲	۰/۰۰۴	۴/۵۱*
۴۰۰	۵۴۸۶۰	۳۵۹/۵۵	۰/۱۷	-۰/۰۱	۰/۴۱

در این روابط k ضریب استحکام، C ضریب استحکام در حالت گرم، n نمای کرنش سختی، m حساسیت به نرخ کرنش، $\dot{\epsilon}$ نرخ کرنش، $\ddot{\epsilon}$ کرنش حقیقی و $\ddot{\sigma}$ تنش حقیقی نامیده می‌شوند.

٤- نتائج و بحث

با توجه به آزمون‌های تجربی و شبیه‌سازی انجام شده در دماهای مختلف، توزیع ضخامت در ناحیه قوس خارجی و داخلی خم بررسی شده است. در شکل (۵) بر اساس داده‌های تجربی مشاهده می‌گردد که بعد از استفاده از ساقیمه‌های فولادی به عنوان ماندrel

استفاده شده است. به منظور تعریف سطوح قالب، سطح بیرونی لوله به عنوان سطح پایه و سطح قالب‌های خمکاری به عنوان سطح پیرو انتخاب شده است. در قسمت تعیین مشخصات سطوح تماس، از مدل اصطکاکی کولمب استفاده شده است. ضرایب اصطکاک بین سطوح قالب‌ها و لوله از نوع پنالتی بوده در جدول (۳) نشان داده شده است.

جدول ۳) شرایط اصطکاکی بین قالب‌ها و لوله^[16,17]

سطوح تماس	ضریب اصطکاکی
لوله - قالب نگهدارنده	(Rough) ۰,۶ یا خشن ("
لوله - قالب خم	۰,۱
لوله - قالب جاروب کن	۰,۰۵
لوله - قالب فشار	۰,۳

برای دستیابی به ضریب اصطکاک بین سطوح قالب و لوله، مدل سازی با انواع ضریب اصطکاک انجام شده و نمونه شبیه سازی با نمونه تجربی مورد مقایسه قرار گرفته است. ضرایب اصطکاک انتخاب شده، تطابق خوب نمونه تجربی و شبیه سازی را نشان داده است.

المان‌های لوله از نوع S4R و اندازه تقریبی یک، شبکه‌بندی شده و عدد در نظر گرفته شده است. در شکل ۴-الف) برای دست‌یابی به اندازه المان مناسب، شبیه‌سازی‌های گوناگونی صورت گرفت و در نهایت اندازه المان پس از بررسی همگرایی کرنش پلاستیک معادل در ناحیه خارجی خم حاصل گردید.

در اندازه المان‌های ۰/۹ و ۱ به دلیل همگرایی کرنش پلاستیک، فرآیند با زمان کمتر انتخاب می‌گردد. با توجه به اینکه زمان انجام فرآیند خم‌کاری در آزمون تجربی ۲، ۳ و ۴ ثانیه است، برای هر تحلیل با تنظیم زمان مورد نظر به ترتیب در حدود ۸، ۱۲ و ۱۶ ساعت به طبقه ازجام

در شبیه‌سازی‌ها قطر خارجی و ضخامت اولیه لوله به ترتیب $25/4$ و $1/8$ میلی‌متر بوده و خم کاری تحت نسبت خم $1/8$ و قرارگیری ساچمه‌های فولادی درون لوله مورد شبیه‌سازی قرار گرفته است. برای تعريف خواص ماده در نرم افزار از نمودار تنش-کرنش ماده که از نمونه‌های تست کشش طبق استاندارد ASTM E8M تهیه شدند، استخراج شده است. شکل (۴-ب) نمودار تنش-کرنش حقیقی ماده را نشان می‌دهد که با استفاده از آن ویژگی‌هایی چون چگالی، ضریب پواسون، مدول الاستیک و رفتار پلاستیک به لوله نسبت داده شدند. با توجه به اینکه در شبیه‌سازی فرآیند خم کاری، قالب‌ها به صورت صلب مدل شده‌اند، خواص مکانیکی به آن‌ها نسبت داده نشد. جنس لوله یک ماده الاستو-پلاستیک با کرنش

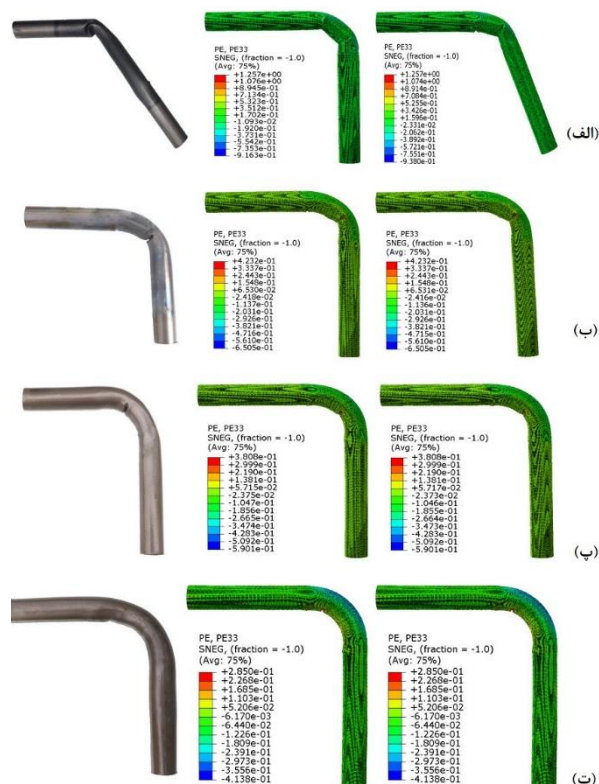
از معادله هولومون برای تعریف کارسختی ماده و از معادله نورتن-هوف برای تحلیل اثر دما و نرخ کرنش بر تنش جریان ماده در دماهای مختلف استفاده شده که مقادیر به دست آمده به ترتیب در اینطههای، (۲) و (۳)، بداشت شده است.

با توجه به شکل (۵)، دلیل کاهش چروک داخلی لوله را می‌توان افزایش دما در کنار پر کردن لوله از ساقمه‌های فولادی بیان نمود. در شکل (۶) توزیع ضخامت طولی در طول مسیر خم برای لوله‌های با دمای 100°C , 200°C و 300°C در حالت تجربی و شبیه‌سازی عددی بررسی شده است. مطابق شکل، تغییرات ضخامت بیشینه و کمینه در برش طولی از منطقه خم برای دماهای مختلف اندازه‌گیری شده است. همان‌طور که مشاهده می‌شود، با افزایش دما از 100°C به 300°C ، ضخامت بیشینه در انحنای داخلی خم از 165 میلی‌متر به 62 میلی‌متر کاهش می‌یابد، به عبارتی ضخامت بیشینه به اندازه 46 درصد کاهش یافته است. افزایش دما، ضخامت کمینه در انحنای خارجی را نیز کاهش می‌دهد. با افزایش دما از 100°C به 300°C ، ضخامت کمینه به صورت خطی از 41 میلی‌متر به 35 میلی‌متر کاهش می‌یابد. به عبارتی با افزایش دما، ضخامت کمینه، به اندازه 14 درصد کاهش یافته است؛ بنابراین تاثیر افزایش دما بر نازک‌شدن، در حدود $3/1$ برابر بیشتر از تاثیر آن بر ضخیم‌شدن است. دلیل این تاثیر بیشتر، نداشتن تماس انحنای خارجی خم با قالب‌هاست که سبب شکل‌دهی آزاد انحنای خارجی خم و در نتیجه تغییرشکل بیشتر آن می‌شود، اما در انحنای داخلی خم، دیواره داخلی لوله از یک سمت تحت اثرات اصطکاکی با شیار قالب خم کن است که مانع از جریان آسان مواد و تغییرات ضخامت زیاد آن می‌شود. در شکل (۶) درصد اختلاف شبیه‌سازی با تجربی در تعیین ضخامت، $2/7$ درصد است.

در شکل‌های (۵) و (۶) اختلاف شبیه‌سازی و تست‌های تجربی کمتر از 10 درصد بوده است؛ بنابراین مدل اجزای محدود طراحی شده می‌تواند فرآیند خمکاری را به خوبی پیش‌بینی کند. تست‌های تجربی در نسبت خم $1/8$ و سرعت خم $100\text{ رادیان بر ثانیه}$ در دماهای محیط، 100°C , 200°C و 300°C و 400°C انجام گرفته و برای سایر سرعت‌های خمکاری به پیش‌بینی‌های شبیه‌سازی اعتماد شده است.

نازک‌شدنی ناحیه خارجی لوله و ضخیم‌شدنی ناحیه داخلی مقطع لوله به ترتیب در شکل‌های (۷-الف) و (۷-ب) نشان داده شده‌اند. با توجه به شکل (۷-الف) بیشترین مقدار نازک‌شدنی قسمت خارجی لوله در منطقه خم از $2/6$ درصد به 11 درصد افزایش یافته است. همچنین در شکل (۷-ب) بیشترین مقدار ضخیم‌شدنی داخلی از $10/2$ درصد به $4/0\text{ درصد}$ کاهش یافته است. به دلیل تحت کشش بودن لوله در ناحیه خارجی خم، نازک‌شدنی قوس خارجی لوله به میزان $8/4$ درصد افزایش می‌یابد. به عبارتی با افزایش دما، ضخیم‌شدنی در قوس داخلی خم کاهش یافته اما نازک شدنی در قوس خارجی خم افزایش می‌یابد. برای بهبود منطقه خم با استفاده از گرمایش مقاومتی، آزمایش‌ها در دماهای 100°C , 200°C و 300°C و 400°C تکرار نموده و میزان اثرگذاری دما و پرنمودن لوله با ساقمه‌های فولادی بر اوجاج سطح مقطع بررسی گردید. با قرارگیری ساقمه‌های فولادی درون لوله و انجام فرآیند خمکاری

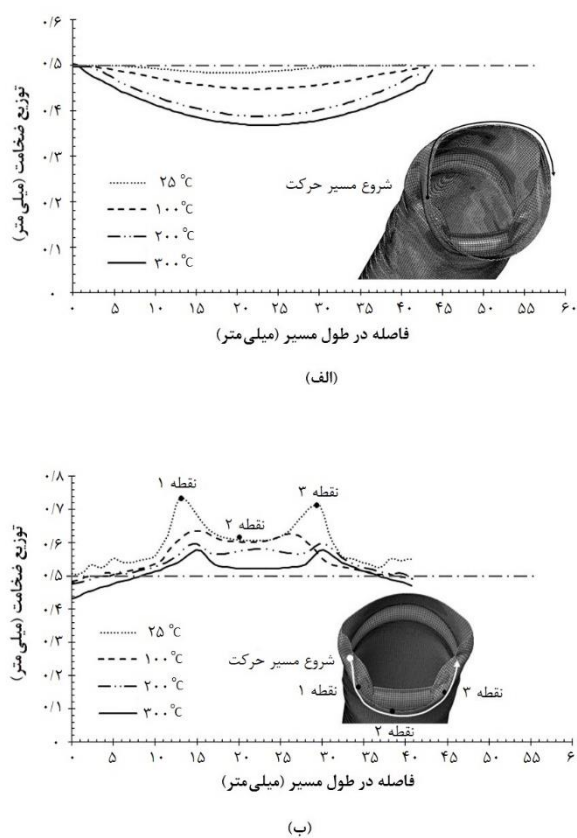
درون لوله، ضخیم‌شدنی و میزان چروک در قوس داخلی کاهش یافته است.



شکل (۵) توزیع کرنش مماسی در سرعت خمکاری $100\text{ رادیان بر ثانیه}$ بازگشت فنی در دماهای، الف- میکیت، ب- 100°C ، پ- 200°C ، ت- 300°C

به دلیل شکل‌پذیری پایین فلز تیتانیوم در دمای محیط، لوله دارای لهیگی شده است. به عبارتی عمق چروک برای لوله در دمای محیط، $1/2\text{ میلی‌متر}$ اندازه‌گیری شد. با افزایش دما به 100°C ، 200°C و 300°C به $7/0\text{ میلی‌متر}$ کاهش یافته است. عمق چروک برای لوله‌های با دمای 200°C به $5/0\text{ میلی‌متر}$ و در دمای 300°C با یک فورفتگی به عمق $1/0\text{ میلی‌متر}$ اندازه‌گیری شد. بنابراین نتیجه می‌شود با افزایش دما در کنار استفاده از ساقمه‌های فولادی درون لوله، عمق چروک کاهش یافته است.

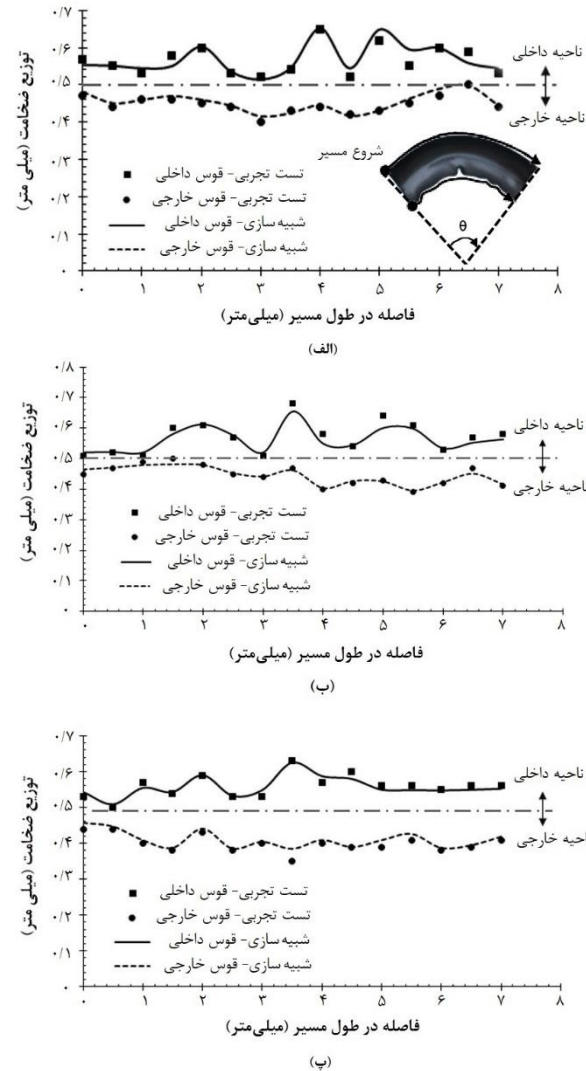
جهت تایید نتایج شبیه‌سازی، شبیه‌سازی‌های مطابق با شرایط واقعی فرآیند در دماهای محیط، 100°C , 200°C و 300°C انجام گردید. توزیع کرنش مماسی در حین فرآیند خمکاری کششی دورانی در شکل (۵) نشان می‌دهد که با افزایش دما کرنش روند کاهشی داشته و به طور مساوی در منطقه خمش توزیع شده است. بیشترین مقدار کرنش در ناحیه داخلی خم و در قسمت چروک شده لوله مشاهده می‌شود. کمترین مقدار کرنش با توجه به شکل (۵) در ناحیه خارجی خم قابل مشاهده است. همچنین با مشاهده تغییرات کم کرنش مماسی بعد از بروز پدیده برگشت فنی نتیجه می‌شود که این پدیده تاثیر آشکاری بر کرنش مماسی ندارد.



شکل ۷) مقایسه توزیع ضخامت عرضی با سرعت خم کاری 0.8 Rad/s
الف- نازک شدگی، ب- ضخیم شدگی
حذف آن خواهد شد.

۱-۴ اثر دما و ساقچمه‌های فولادی بر توزیع ضخامت لوله
شکل (۸-الف) تاثیر دما و ساقچمه‌های فولادی بر توزیع ضخامت سطح مقطع میانی خم در راستای محیطی لوله و در نسبت خم $1/8$ را نشان می‌دهد. با توجه به شکل، بدیهی است مکان تار خنثی برای لوله در دمای محیط در فاصله 0.5 میلی‌متر قبل از موقعیت اصلی خود که بر روی شکل (۸-الف) مشخص شده است قرار گرفته است.

برای آزمون در دمای 300°C در فاصله 0.5 میلی‌متر بعد از موقعیت اصلی تار خنثی قرار دارد. اما موقعیت تار خنثی برای آزمون‌های با دمای 100°C و 200°C در نزدیکی موقعیت اصلی تار خنثی قرار گرفته‌اند، این مکان موقعیتی است که ضخامت دیواره لوله با ضخامت اولیه آن برابر است. مطابق با شکل (۸-الف) نتیجه می‌شود موقعیت مکان تار خنثی در دمای محیط به ناحیه خارجی لوله نزدیک‌تر بوده و با افزایش دما به موقعیت اصلی تار خنثی حرکت می‌کند و برای دمای 300°C به ناحیه داخلی لوله نزدیک‌تر است. محل تقاطع خط افقی با منحنی‌ها و ضخامت‌های کمتر از 0.5 میلی‌متر نشان‌دهنده انحنای خارجی و ضخامت‌های بیش از 0.5 میلی‌متر نشان‌دهنده انحنای داخلی خم را نشان می‌دهد. بنابراین جابجایی تار خنثی با افزایش دما به سمت انحنای داخلی خم جایجاً می‌شود. شکل (۸-ب) نشان می‌دهد با افزایش دما از دمای محیط تا 300°C

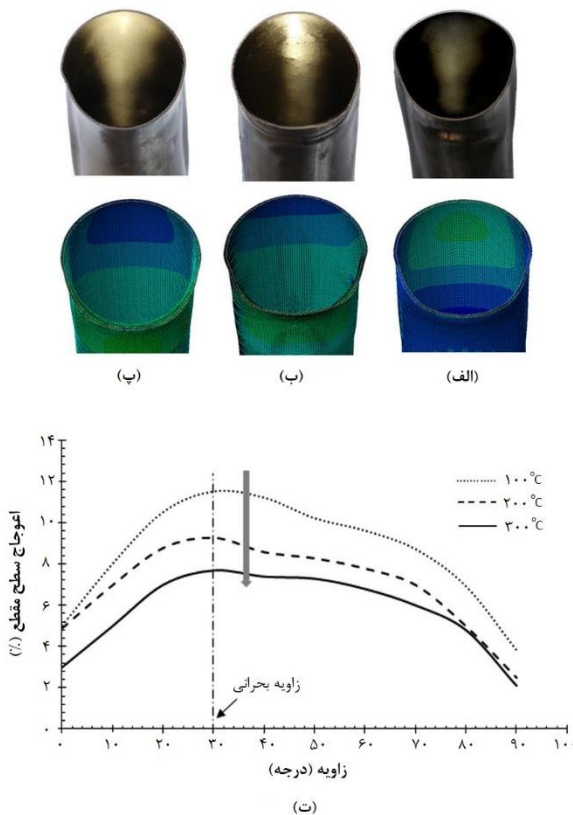


شکل ۸) توزیع ضخامت طولی به صورت تجربی و شبیه سازی در دماهای الف- 100°C ، ب- 200°C ، پ- 300°C

کششی دورانی در دمای محیط، لوله خم شده در ناحیه قوس داخلی دچار چروکیدگی می‌شود.

به بیان دیگر علت ایجاد چروکیدگی در لوله‌ها را می‌توان وجود تنش‌های فشاری در ناحیه قوس داخلی بیان نمود. به دلیل اینکه این تنش‌های فشاری خنثی نمی‌شوند و مسیر جریان ماده به درستی در هنگام خم کاری هدایت نمی‌شود، چروکیدگی و تغییر شکل‌های نامطلوب در لوله در قسمت داخلی خم به وجود می‌آید. با پر نمودن حجم داخلی لوله از ساقچمه و حذف تقریبی فضای خالی بین ساقچمه‌ها با استفاده از دو سایز با قطرهای 0.85 میلی‌متر، فشار داخلی در لوله ایجاد می‌شود که میزان چروکیدگی را به دلیل هدایت مسیر جریان ماده‌ی لوله، کاهش می‌دهد.

تغییر شکل لوله‌های تیتانیومی در محدوده خم بحرانی و در دمای محیط بسیار دشوار و یا غیر ممکن است. اعمال دما و قرارگیری ساقچمه‌ها درون لوله به طور همزمان باعث کاهش پدیده چروک و



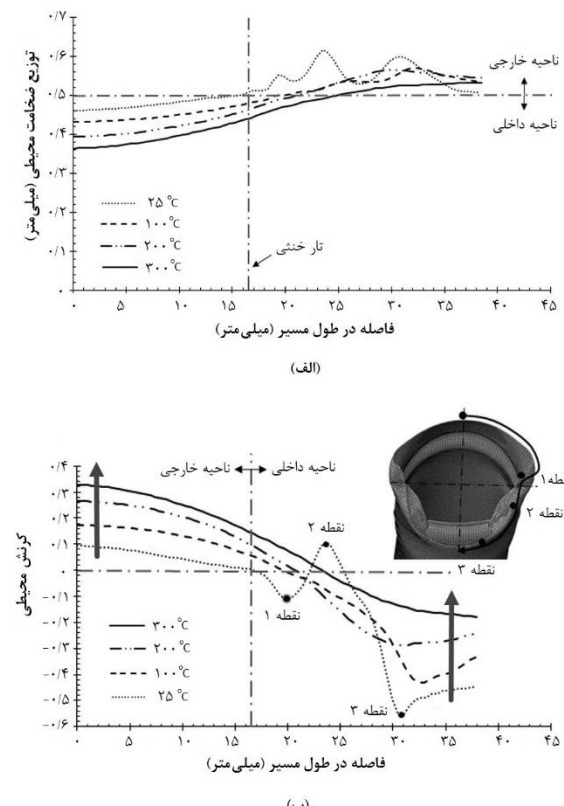
شکل ۹) تغییر شکل سطح مقطع لوله به صورت آزمون تجربی و شبیه‌سازی با سرعت خمکاری $s/8 \text{ Rad}/\text{s}$ در دماهای، الف- 100°C و در دماهای، ب- 200°C ، پ- 300°C ، ت- درصد بیضوی شدن مقاطع بر حسب موقعیت زاویه‌ای آن‌ها

که از شکل ۹-ت) برداشت می‌شود این است که بیشترین مقدار بیضوی شدن، صرف نظر از میزان دمای لوله‌ها، در زاویه حدودی $\theta = 30^\circ$ رخ می‌دهد.

در زاویه بحرانی ($\theta = 30^\circ$)، بیضوی شدن بیشینه رخ می‌دهد، سطح مقطع لوله در این زاویه معیار ارزیابی کیفیت نهایی قطعه در نظر گرفته شده و طراحی‌های فرآیند و مطالعات بیضوی شدن بر اساس مقدار عیب در این مقطع انجام شد. برای بررسی دقیق‌تر، درصد بیضوی شدن به ازای هر مقدار دما با ۳ سرعت خمکاری محاسبه شده و در شکل ۱۰-الف) آورده شده است. از روند نزولی ستون‌های شکل ۱۰-الف) می‌توان به تاثیر مثبت افزایش دما بر کاهش عیوب بیضوی شدن سطح مقطع پی‌برد.

این روند نزولی با کاهش شیب پیک آن‌ها نشان می‌دهد که در دماهای بالاتر، افزایش دما اثر مثبتی بر بهبود بیضوی شدن دارد. این مقایسه برای آزمون‌های تجربی و شبیه‌سازی عددی به صورت نزولی بدست آمده است در شکل ۱۰-ب) قابل مشاهده است.

با توجه به داده‌های تجربی میزان اعوجاج سطح مقطع لوله برای دماهای 100°C ، 200°C ، 300°C و 400°C از بیشترین مقدار $12/5$ درصد به کمترین مقدار $1/2$ درصد کاهش پیدا می‌کند. با افزایش دما، میزان ضخامت به تدریج کم می‌شود. در دمای 100°C ، کمترین و بیشترین قطر به ترتیب $23/48$ میلی‌متر و $26/85$ میلی‌متر



شکل ۸) تاثیر دما و ساقمه‌های فلزی در سرعت خمکاری $s/8 \text{ Rad}/\text{s}$ ، الف- توزیع ضخامت محیطی لوله، ب- کرنش عرضی

کرنش عرضی در انحنای قوس خارجی، کاهش داشته که به معنای کاهش ضخامت است. نوسان در قوس داخلی به دلیل وجود چین و چروک در قسمت داخلی خم بوده است. در محل تار خنثی با افزایش دما، اندازه کرنش طولی پیوسته افزایش می‌یابد. این افزایش به معنای این است که دیواره لوله در نواحی تار خنثی نازک شده است.

برای مکانیابی بیضوی شدن بیشینه سطح مقطع حاصل از تقاطع صفحه گذرنده از محور خمش تحت زوایای مختلف ۰ (شکل ۹-الف) با لوله خمیده را به وجود آورده و مقدار بیضوی شدن در آن مقاطع با استفاده از رابطه (۱) محاسبه شد.

۲-۴- اثر دما و ساقمه‌های فلزی بر روی تغییر شکل سطح مقطع لوله

در شکل‌های ۹-الف)، ۹-ب) و ۹-پ) سطح مقطع لوله با افزایش دما و قرارگیری ماندلر در حالت تجربی و شبیه‌سازی عددی نشان داده شده است.

بیشترین تغییر شکل ناحیه خارجی خم در دمای 100°C به همراه ساقمه‌های فولادی به عنوان ماندلر $12/5$ درصد بوده است که در دمای 300°C این مقدار به $1/2$ درصد کاهش یافته است. به عبارتی هر چه دما افزایش یابد عیوبی مانند اعوجاج ناحیه خم بهبود خواهد یافت. درصد بیضوی شدن مقاطع بر حسب موقعیت زاویه‌ای آن‌ها در شکل ۹-ت) نشان داده شده است. نکته مهمی

پ) و (۱۰-ت) در سرعت خمکاری 0.8 Rad/s رادیان بر ثانیه، پارگی در ناحیه خارجی خم در دمای 400°C رخ داده است. با کاهش سرعت قالب خم کن به 0.4 Rad/s رادیان بر ثانیه، لوله بدون پارگی ولی با تعداد زیادی چروک در ناحیه داخلی، خم شده است. علت پارگی نمونه‌ها در این دما نمی‌تواند تغییر فازی عنوان گردد. بلکه با تغییر سرعت خمکاری در روش کششی دورانی، درصد بیضوی شدن سطح مقطع برای نمونه‌های سالم و بدون پارگی در آزمون‌های تجربی و شبیه‌سازی نشان می‌دهد که با کاهش سرعت خمکاری از 0.8 Rad/s رادیان بر ثانیه به 0.5 Rad/s رادیان بر ثانیه و 0.4 Rad/s رادیان بر ثانیه، درصد بیضوی شدن سطح مقطع افزایش یافته اما با افزایش دما روند نزولی خود را حفظ نموده است.

۵-جمع‌بندی

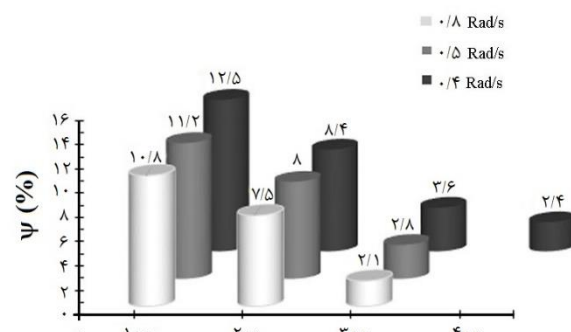
در این پژوهش تاثیر دما و ساقمه‌های فولادی بر روی برخی عیوب موجود در خمکاری کششی دورانی لوله‌های تیتانیومی جدار نازک به صورت آزمایشگاهی و شبیه‌سازی عددی بررسی شده است. نتایج کلی این مقاله به شرح زیر است:

۱- خمیم‌شدگی بیشینه در انحنای داخلی با افزایش دما، روندی کاهشی و نازک‌شدگی بیشینه در انحنای خارجی روند افزایشی داشته است و این روند افزایشی به دلیل عدم تماس انحنای خارجی با قالب، دارای شبیه‌سازی بیشتری نسبت به روند کاهشی ضخیم‌شدگی بوده است؛ بنابراین فشار اعمالی از سمت ساقمه‌های فلزی درون لوله به همراه افزایش دما تاثیر بیشتری بر نازک‌شدگی نسبت به ضخیم‌شدگی داشته است. بیشینه ضخیم‌شدگی و بیشینه نازک‌شدگی در دمای 300°C ، به ترتیب 0.35 میلی‌متر و 0.30 میلی‌متر بدست آمد.

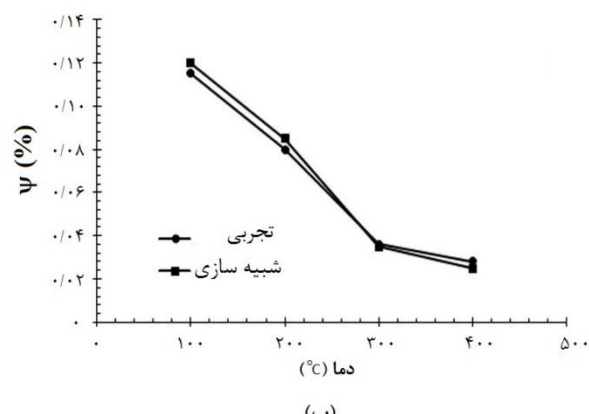
۲- با بررسی شبیه‌انجام فرآیند خمکاری مقاومتی با ساقمه‌های فولادی، به دلیل ایجاد فشار داخلی در منطقه خم با پر نمودن حجم لوله از ساقمه‌ها، چروک ناحیه داخلی لوله کاهش می‌یابد. بنابراین چروکیدگی که در دمای محیط منجر به چروک با عمق 0.12 میلی‌متر در منطقه خم اندازه‌گیری شده بود با استفاده از ساقمه‌های فولادی و افزایش دما، به فرورفتگی با عمق 0.08 میلی‌متر بهبود پیدا می‌کند.

۳- با مطالعه فرآیند خمکاری مقاومتی، به کمک شبیه‌سازی المان محدود و آزمون‌های تجربی مشخص گردید که بر اثر افزایش دما و پر نمودن لوله از ساقمه‌های فلزی، تغییر شکل سطح مقطع ناحیه خم در دماهای پایین، بیشتر از 10°C درصد بوده در حالی که با افزایش دما، میزان اعوجاج سطح مقطع به 0.05 درصد می‌رسد.

۴- بیضوی شدن بیشینه صرف نظر از میزان دمای لوله‌ها، در سطح مقطع با زاویه 30° رخ می‌دهد. کمترین مقدار بیضوی شدن قابل دستیابی در دماهای 100°C ، 200°C و 300°C به ترتیب 0.08 درصد ، 0.075 درصد و 0.07 درصد است. این روند نزولی نشان می‌دهد که در دماهای بالاتر، بر میزان اثر مثبت دما و ماندلر روی بهبود



(الف)



(ب)



(پ)

شکل ۱۰) الف- اثر دما و سرعت خمکاری بر درصد بیضوی شدن، ب- درصد تغییر شکل سطح مقطع در سرعت خمکاری 0.4 Rad/s ، پ- لوله در دمای 400°C و سرعت 0.8 Rad/s ، ت- لوله در دمای 0°C و سرعت 0.4 Rad/s

اندازه‌گیری شده است. در دمای 200°C ، کمترین و بیشترین قطر به ترتیب $23/56 \text{ میلی‌متر}$ و $25/65 \text{ میلی‌متر}$ و در دمای 300°C ، $25/97 \text{ میلی‌متر}$ و $25/43 \text{ میلی‌متر}$ می‌باشد. میان اندامه‌گیری شده است. این در حالی است که در دمای 400°C نازک‌شدگی در قوس خارجی خم افزایش یافته و پارگی پس از حدود 30° چرخش رخ داده است. نتایج نشان می‌دهد که افزایش دما تا محدوده دمایی 300°C باعث کاهش ضخیم‌شدگی قسمت داخلی خم و افزایش نازک‌شدگی قسمت خارجی خم برای لوله تیتانیوم خالص خواهد بود.

با توجه به شکل با افزایش دما، منحنی‌ها به سمت پایین انتقال یافته‌اند و به عبارتی مقدار بیضوی شدن سطح مقطع به میزان تقریباً 10°C درصد کاهش یافته است. با افزایش دما تا حدود 883°C تغییر فاز آلفا به فاز بتا رخ خواهد داد. با توجه به شکل‌های (۱۰-

- 10- Collie GJ, Higgins RJ, Black I. Modelling and predicting the deformed geometry of thick-walled pipes subjected to induction bending. Proceedings of the Institution of Mechanical Engineers, Part L: Journal of Materials: Design and Applications. 2010; 224(4):177-89.
- 11- Bach M, Degenkolb L, Reuther F, Psyk V, Demuth R, Werner M. Conductive Heating during Press Hardening by Hot Metal Gas Forming for Curved Complex Part Geometries. Metals. 2020; 10(8):1104.
- 12- Ding Y, Yetisir M. Residual stress modeling of warm-bent tight-radius CANDU feeder bends. In ASME Pressure Vessels and Piping Conference 2008 (Vol. 48302, pp. 449-455).
- 13- Ma Y, Xu Y, Zhang S, Chen D, El-Aty AA, Li J, Zhao Z, Chen G. The effect of tube bending, heat treatment and loading paths on process responses of hydroforming for automobile intercooler pipe: numerical and experimental investigations. The International Journal of Advanced Manufacturing Technology. 2017; 91(5):2369-81.
- 14- Simonetto E, Ghiotti A, Bruschi S. High accuracy direct hot bending of hollow profiles. Manufacturing Letters. 2021; 27:63-6.
- 15- Roein M, Elyasi M, Mirnia MJ. Introduction of a new method for bending of AISI 304L stainless steel micro-tubes with micro-wire mandrel. Journal of Manufacturing Processes. 2021; 66:27-38.
- 16- Standard Test Methods for Tension Testing of Metallic Materials, American Association State, Highway and Transportation Officials Standard, AASHTO No.: T68, An American National Standard. Last previous edition approved 2016 as E8/E8M - 16.
- 17- Song F, Yang H, Li H, Zhan M, Li G. Springback prediction of thick-walled high-strength titanium tube bending. Chinese Journal of Aeronautics. 2013; 26(5):1336-45.
- 18- Zhang Z, Yang H, Li H, Tao Z, Wang D. Thermo-mechanical coupled 3D-FE modeling of heat rotary draw bending for large-diameter thin-walled CP-Ti tube. The International Journal of Advanced Manufacturing Technology. 2014; 72(9):1187-203.

بیضوی شدن افزوده می‌شود، همچنین مقدار بیضوی شدن با کاهش سرعت خمکاری، افزایش یافته است.

۵- با بررسی پارامترهای چروکیدگی و اعوجاج سطح مقطع نتیجه گرفته شد که افزایش دما موجب بهبود پارامترهای خمکاری خواهد شد. بنابراین با بررسی اثر دما، ساقمه‌های فولادی و سرعت قالب خمکن بر فرآیند خمکاری کششی دورانی مقاومتی، بهترین حالت برای شکل‌دهی لوله تیتانیومی جدار نازک گردید ۲ به همراه ساقمه‌های فولادی به عنوان ماندلر دمای ۳۰۰°C و سرعت خمکاری ۰/۸ رادیان بر ثانیه محاسبه شده است.

تاییدیه اخلاقی: نویسندها در تهیه و تنظیم این مقاله رعایت کامل اصول اخلاقی را مدنظر قرار داده‌اند.

تعارض منافع: تمامی مطالب مذکور توسط نویسندها انجام شده و هیچ فرد یا نهادی در تهیه آن نقش نداشته است.

منابع مالی: تمامی منابع مالی این تحقیق توسط نویسندها مقاله تأمین شده است

منابع

- 1- E. Simonetto, G. Venturato, A. Ghiotti and S. Bruschi, "Modelling of hot rotary draw bending for thin-walled titanium alloy tubes," International Journal of Mechanical Sciences, 2018;148:698-706.
- 2- M. Gregory, Tube Forming Processes: A Comprehensive Guide, pp. 72-110, Dearborn, Michigan, Society of Manufacturing Engineers, 2003.
- 3- H. Masoumi, Y. Mirbagheri, R. Jafari Nedoushan, M. Salem and M. Kalantari, "Effect of mandrel, its clearance and pressure die on tube bending process via rotary draw bending method," Int J of Advanced Design and Manufacturing Technology, vol. 5, no. 5, pp. 47-52, 2012.
- 4- L. LĂZĂRESCU, "Effect of internal fluid pressure on quality of aluminum alloy tube in rotary draw bending," Int J Advanced Manufacturing of Technology, pp. 64:85-91, 2013.
- 5- رجبی، محمدرضا؛ رضایی‌زاده، مسعود؛ احمدی بروغنی، سید یوسف؛ "ارائه روش خمکاری لوله‌ها به کمک ماندلر سیمی به عنوان روشی جدید، نشریه علوم کاربردی و محاسباتی در مکانیک، جلد ۲۹، شماره ۴، صفحه ۱۱۹-۱۲۸، ۱۳۹۷."
- 6- Shi SC, Yang LF, Guo C. Deformation behaviors of tube rotary-draw bending filled with steel balls. InAdvanced Materials Research 2011 (Vol. 328, pp. 1403-1407). Trans Tech Publications Ltd.
- 7- Zong C, Pan Z, Hu D, Zheng H, Xu Y, Dong Y. Information fusion algorithm for vehicle state estimation based on extended Kalman filtering. Jixie Gongcheng Xuebao/Journal of Mechanical Engineering. 2009;45(10):272-7.
- 8- Shi SC, Yang LF, Guo C. Deformation behaviors of tube rotary-draw bending filled with steel balls. InAdvanced Materials Research 2011 (Vol. 328, pp. 1403-1407). Trans Tech Publications Ltd.
- 9- Yang JB, Jeon BH, Oh SI. The tube bending technology of a hydroforming process for an automotive part. Journal of Materials Processing Technology. 2001; 111(1-3):175-81.